

東北大学工学部 正員 河上房義
同大学院 学生員 柳沢栄司

§ 1. はしがき

この研究は、静的を土圧を受けている土が地震のような波動を受けた状態を考え、三軸室内にこのような応力状態を再現して土の強度を調べようとするものである。即ち、ある三軸圧力を中心にある圧力振幅で振動する応力状態で土の力学的性質が如何に変化するかを調べるものである。

§ 2 実験装置と実験方法

この実験に用いた振動三軸圧縮試験機は三軸室本体と油圧発生装置からなっている。(図1) 軸圧は油圧を適宜上限圧力と下限圧力に設定し、これをメカニカルバルブによって切換えてピストンを動かして交番載荷される。弁の切換えは無段变速モーターにより行うので載荷周期を1~10秒まで連続的に変えることができる。また、圧力の大きさも油圧を変えることによって1~17 kg/cm²まで任意に変えられる。一方、側圧もピストンによって、同様に周期1~0.1秒の間で任意の圧力振幅をもって振動させることができる。

この実験に用いた試料土は仙台近郊にあるシルト質ロームで、これを氣乾燥状態で粉碎して1.2 mmの篩でふるいわけ、これを通過したもの用いた。供試体はこの試料土を最適含水比で最大乾燥密度に充固めた高さ12.5 cm 直径5 cmの円筒形のものを用いた。

この実験では側圧は2 kg/cm²で一定とした。軸圧は図2に示すような載荷形式をとる。即ち、ある死荷重 σ_1 まで一定の載荷速度で載荷しひずみが充分発達するまで放置する。その後、図のよう圧力振幅 $\Delta\sigma_1$ をもつ振動圧力を加える。死荷重としては静的を圧縮強さの40%以上の値を適宜選んだ。実験に際しては、軸圧、側圧及び軸ひずみはすべて

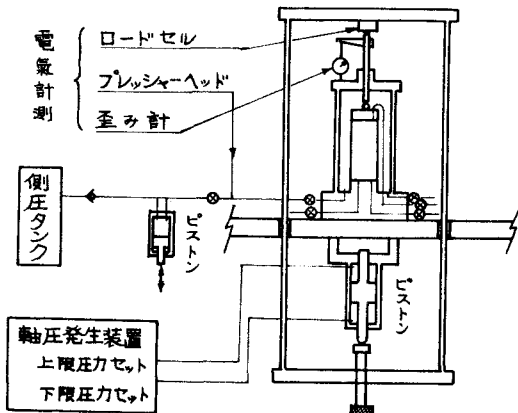


図1 振動三軸試験装置

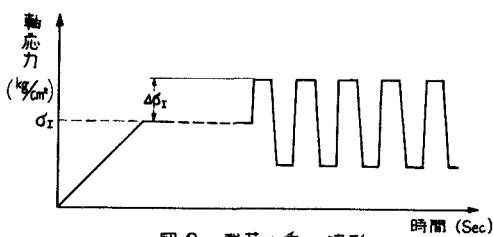


図2 載荷加重の波形

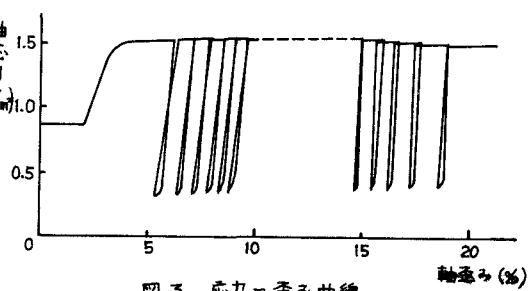


図3 応力-歪み曲線

電気的に計測しラピコンーターに記録した。

§3 実験結果

この実験で得られた応力-ひずみ曲線の1例を図3に示す。ここで死荷重 σ_0 は静的強度の60%、振動振巾 $\Delta\sigma_t$ は同じく40%で載荷周期は2.6秒である。軸圧が上限から下限圧力に変化すると軸歪みは減少するがこの時のreboundの量を弾性歪みと考える。又軸圧の1周期の載荷による残留歪み量を塑性歪みと考えれば、この応力-ひずみ曲線より、各載荷回数に対する弾性歪みと塑性歪みの量が得られる。これを図4に示す。この図では弾性歪みは載荷回数が増すにつれてやや減少する傾向はあるが供試体が破壊するまでは一定である。これに対しても塑性歪みは載荷の初期には非常に大きいが載荷回数と共に減少しやがてほど一定に達するが、その後特定の回数から再び増加し始めて破壊に到ることが判る。載荷の初期には荷重による締固め効果があらわれる爲に、塑性歪みは減少するがやがてそれは一定となり、材料の疲労が起る頃から再び増大して行くものと思われる。従ってこの点を疲労限界と考えてこの限界の始まる回数を各載荷条件について記したもののが図5である。但しこの図の各曲線はその繰返し数の境界を示す。この図から、静的を破壊応力よりもやや低いレベルの振動圧力で疲労限界に達するが $N=200$ の曲線の内側では疲労限界は現われない。

荷重の載荷周期がこの疲労限界に与える影響を示したもののが図6である。但し、ここでの載荷条件は死荷重 σ_0 60%及び振動振巾 $\Delta\sigma_t$ 40%で一定である。振動周期の短い場合には疲労限界に達するまでの載荷回数は非常に大きいが周期が長くなるにつれて急激に減少して横軸に平行な $N=1$ の直線に近づく。

§4 むすび

静的な破壊強度に近い大きな振動荷重をえた場合も土には疲労限界と思われる点が存在する。載荷々重の大きさはかなりこの限界に達する載荷回数に影響を与えるし、又、載荷周期は特に短い處ではこの回数に非常な影響力をもつと思われるが、更に実験を進めて詳細を明らかにするつもりである。

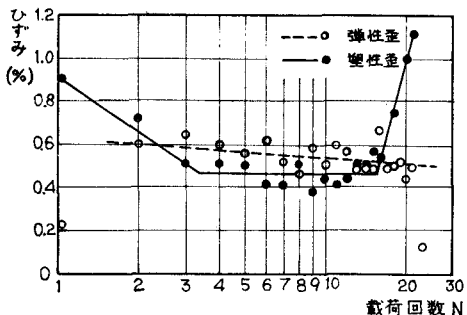


図4 弾性歪みと塑性歪み

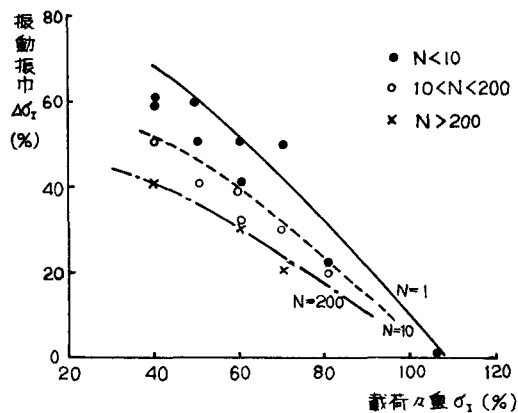


図5 疲労限界

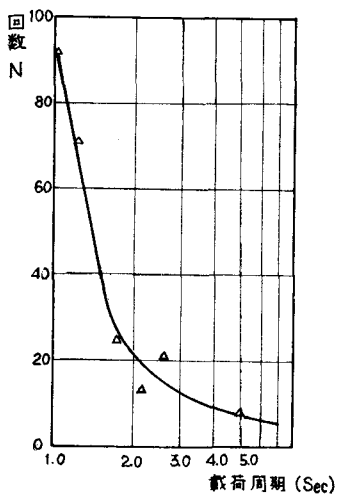


図6 載荷周期に対する疲労限界